

GeoSurvey s.r.o.
Fakulta BERG, Technickej Univerzity v Košiciach
Ústav geovied

**Meranie technickej seismicity na bani Mária
Strieborná žila a jej vplyv na individuálnu výstavbu
v obci Rožňava**

***O D B O R N Í P O S U D O K
odstrelu zo dňa 22. novembra 2012***



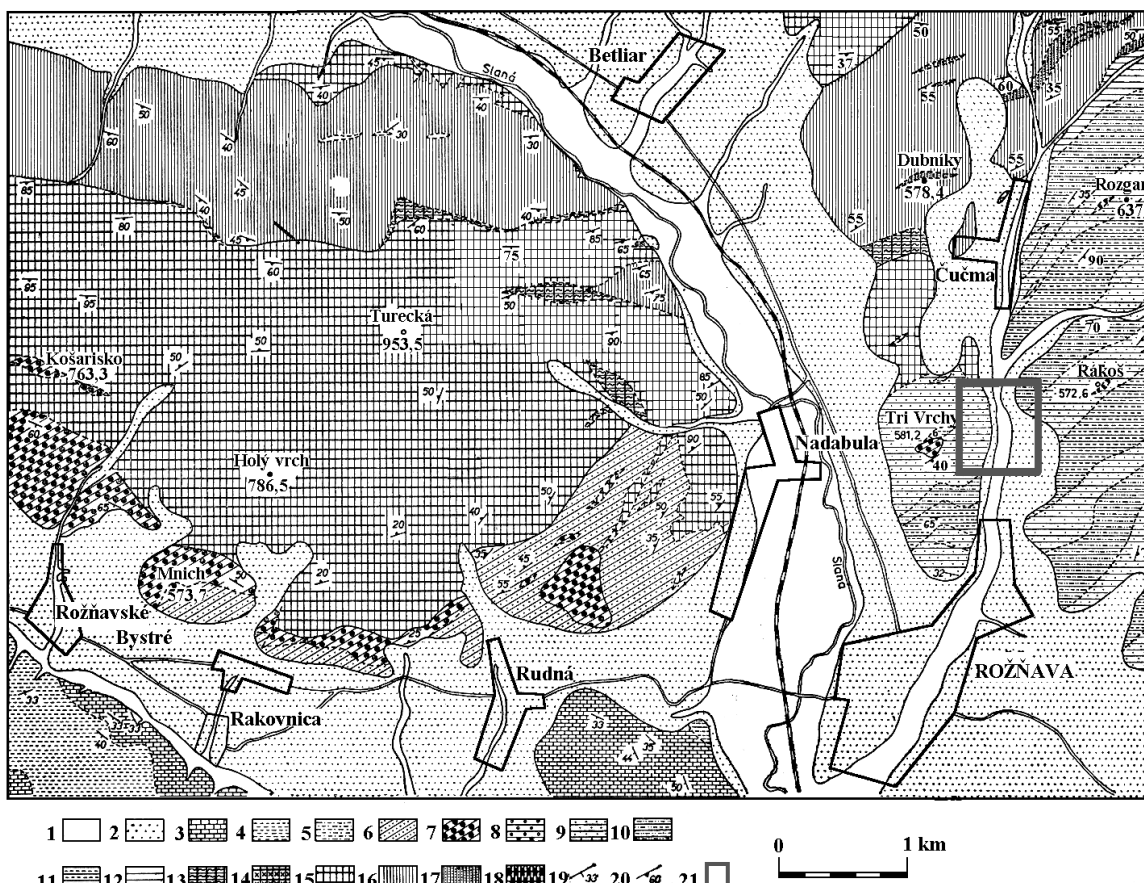
**Autor : Doc. RNDr. Blažej Pandula, CSc.
Spoluautor : Mgr. Julián Kondela, PhD.**

OBSAH	2
1. Stručná geologická stavba okolia bane Mária	3
2. Meracie stanoviská a použitá aparátura pri meraní.....	4
3. Zdroj otriasov.....	5
4. Namerané hodnoty.....	7
5. Seismické účinky trhacích prác.....	9
6. Odhad bezpečnej vzdialenosť od miesta odstrelu.....	11
7. Eliminácia škodlivých účinkov trhacích prác.....	15
8. Kritérium a merítko seismických účinkov.....	15
9. Vzdušná tlaková vlna.....	15
10. Dovolená rýchlosť kmitania pre objekty bytovej zástavby.....	17
11. Namerané seismické účinky clonových odstrelov a ich analýza	17
12. Záver.....	19

Úvod

Na základe požiadavky GeoSurvey s.r.o., sme 22. novembra 2012 uskutočnili meranie technickej seismicity **odstrelu** v okolí bane Mária v meste Rožňava. Z nameraných hodnôt sme zhodnotili účinky umelo vybudenej seismicity vplyvom **odstrelu** v okolí bane Mária na individuálnu výstavbu v meste Rožňava.

1. Stručná geologická stavba okolia bane Mária (prenosové prostredie)



Geologická mapa rožňavského rudného polia (Slavkovský, 1978) - upravené.

1-2 kvartér : 1 aluvium, 2 deluvium; 3-5 mezozoikum Slovenského krasu : 3-sivé slienité vápence s polohami slienitých ilovcov, 4-pestré ilovce, piesčité vápence a pieskovce, 5-pestré pieskovce a ilovce; 6-7 rožňavské súvrstvie (vrch. karbón) : 6-kremence s polohami pieskovcov a piesčito ilovitých bridlíc až fylitov, 7-oligomiktné zlepence; 8-18 gelnická skupina (kambrium-silúr) : 8-mikrokonglomeráty, 9-kvarcity, 10-kvarcity v prevahе s fyllitmi, 11-fyllity v prevahе nad kvarcitmi, 12-fyllity (8-12 drnavské súvrstvie), 13-sopečný popol – sivý a zelený, nezvrstvený, ojedinele s magnetitom, 14-kremité porfýry, 15-porfyroidy, (13-15 pačianske súvrstvie), 16-tmavé fyllity s prechodom do grafitických fyllitov, 17-kvarcity, 18-karbonatické horniny často metasomaticky zmenené na ankerity a siderity, (16-18 betliarske vrstvy), 19-vrstevnatost', 20-bridličnatost', 21-územie z možným vplyvom technickej seismicity vyvolanej trhacími prácami v bani Mária

Baňa Mária je situovaná v rožňavskom rudnom poli. Rozlohou rudné pole nie veľké (asi 50 km²) je charakteristické bohatstvom výskytov hydrotermálnych žilných ložísk sideritovej formácie. Údolím rieky Slaná je rozdelené na západnú a východnú časť. Západná časť je charakterizovaná sideritovými žilami masívu Tureckej, východná je známa výskytom žilného

Odborný posudok odstrelu zo dňa 22. novembra 2012

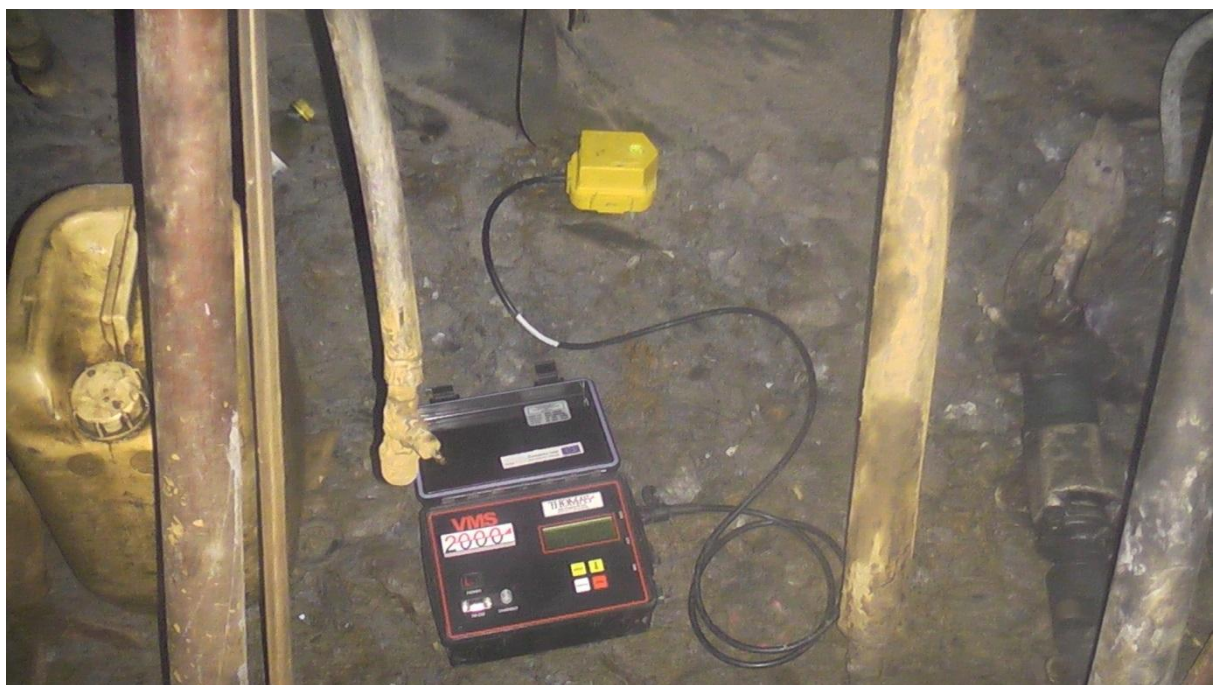
systému Rožňava-Mária-Tri Vrchy (Kalvária) a žilným systémom Rozgang. Západná časť RRP, masív Tureckej, je v prevažnej miere budovaná porfyroidmi gelnickej skupiny a to tak na povrchu, ako aj pod povrchom, až do hĺbky 0 m n. m. V podloží porfyroidov sa nachádzajú tmavé fylity, ktoré potom vystupujú aj na povrchu v severnej časti masívu Tureckej. Na južnom úpäti masívu vystupuje rožňavské súvrstvie. Vo východnej časti RRP Tri Vrchy-Rákoš-Rozgang prevažujú fylity viacerých variet nad porfyroidmi. Na rozdiel od západnej časti sa tu tmavé metapely nachádzajú aj v nadloží porfyroidov.

Nami monitorovaný odstrel bol situovaný na 6. horizonte bane Mária v horninovom prostredí grafitických fylitov. Grafitické fylity sú tu silne zbridličnené a tektonicky značne porušené.

2. Meracie stanoviská a použitá aparátura pri meraní

Na meranie a grafický záznam seismických účinkov boli použité nasledujúce digitálne seismické aparátury:

- seismický prístroj VMS 2000 MP americkej firmy Thomas Instruments a seismosnímače americkej firmy Geospace (obr. 2),
- digitálny seismograf ABEM Vibraloc a seismosnímače švédskej firmy ABEM
- digitálny seismograf UVS 1504 a seismosnímače švédskej firmy Nitro Consult

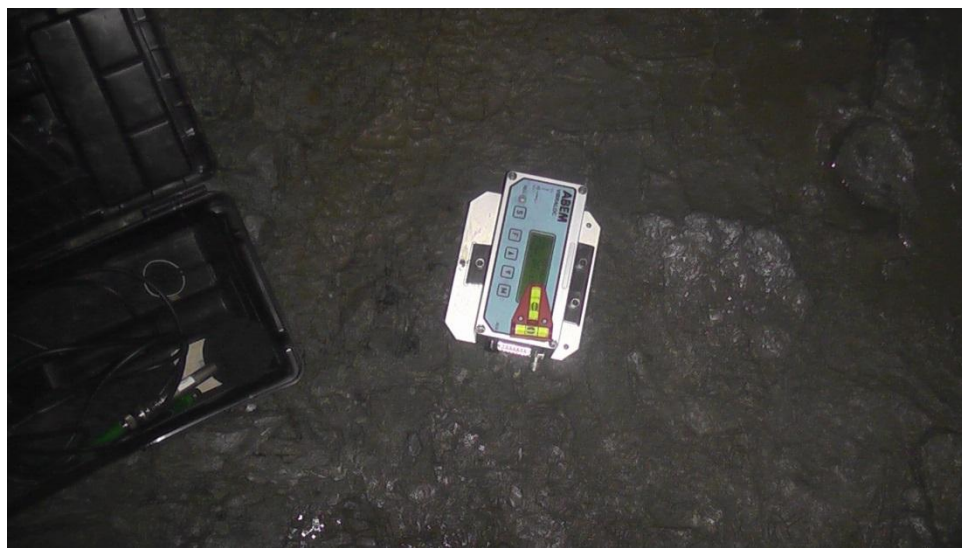


Obr. 2 Meracie stanovisko 1 umiestnenie seismickej aparatúry VMS 2000 MP a seismosnímačov GeoSpace na ocel'ových hrotoch.

Seismografy poskytujú digitálny a grafický záznam všetkých troch zložiek rýchlosťi kmitania častíc prostredia, horizontálna pozdĺžna – v_x , horizontálna priečna – v_y , vertikálna – v_z . Seismografy VMS 2000 MP, UVS 1504 a ABEM Vibraloc pracujú autonómne, automaticky uskutočňujú testy kanálov bez zásahu a vplyvu operátora do nameraných a zaregistrovaných charakteristík kmitania. Seismografy VMS 2000 MP, UVS 1504 a ABEM Vibraloc majú AD prevodník s automatickým 14 bitovým dynamickým rozsahom, ktorý zodpovedá $0,05 \div 250 \text{ mm.s}^{-1}$. Pre tieto merania boli použité elektrodynamické geofóny NitroConsult s frekvenčným rozsahom $1 \div 1000 \text{ Hz}$ a citlivosťou 20 mV/mm.s^{-1} . Ďalej trojzložkový geofón od firmy GeoSpace a trojzložkový geofón od firmy ABEM s frekvenčným rozsahom $1 \div 1000 \text{ Hz}$ a citlivosťou 10 mV/mm.s^{-1} . Geofóny boli umiestnené

Odborný posudok odstrelu zo dňa 22. novembra 2012

na špeciálnej podložke s ocel'ovými ostrými hrotmi, ktoré zabezpečovali nepretržitý kontakt s podkladom.



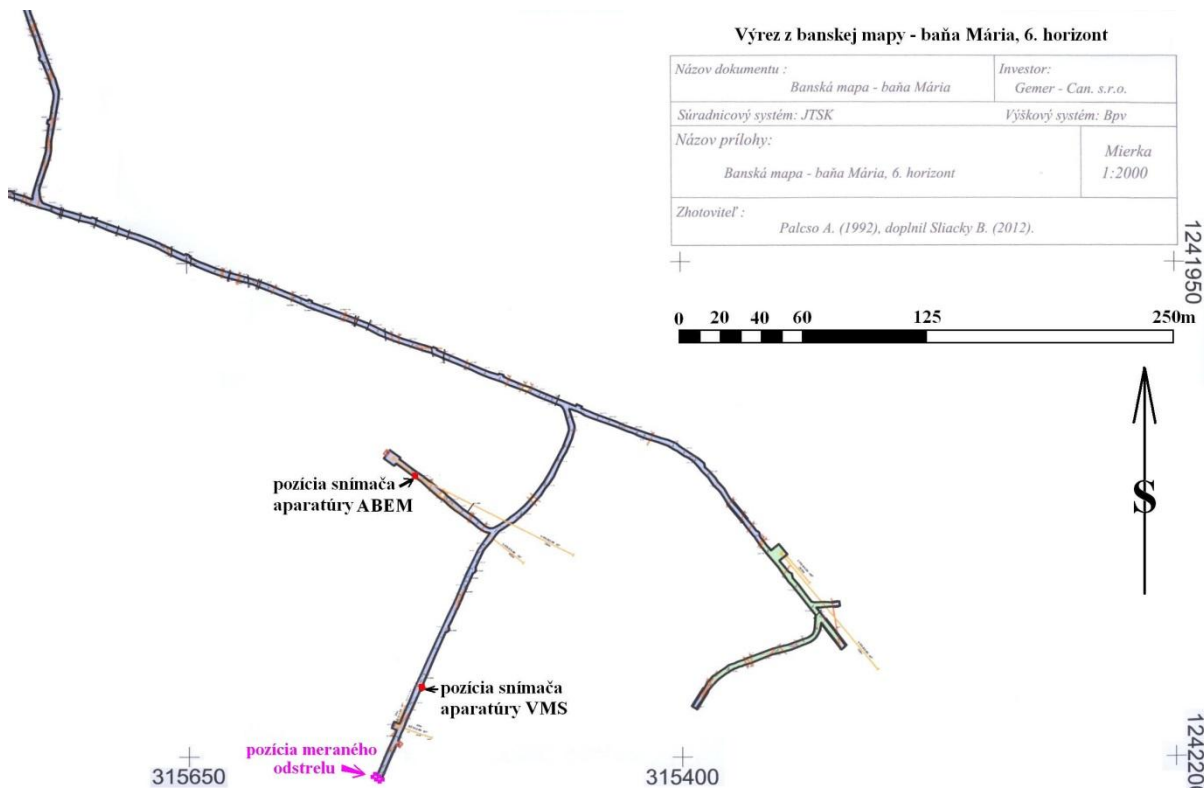
Obr. 3 Meracie stanovisko 2 umiestnenie seismografu ABEM Vibraloc a seismosnímače švédskej firmy ABEM na vodorovne uloženej ocel'ovej platni v prekope. Ocel'ová platňa stála na ocel'ových hrotoch pevne spojená s horninovým prostredím.



Obr. 4 Meracie stanovisko 4- umiestnenie seismografov UVS 1504 a ABEM Vibraloc a seismosnímače švédskej firmy ABEM a Nitro Consult na schodisku vo vchode do bytového objektu na Hrnčiarskej ulici 20.

Meracie stanoviská bolo situované tak, aby bolo možné posúdiť vplyv umelo vybudenej seismicity odstrelom na bytové objekty. Meracie stanoviská boli situované tak, aby bolo možné stanoviť a prekontrolovať aj zákon útlmu seismických vln. Vzdialenosť medzi snímačmi a odstrelom sú uvedené v tabuľke 1 a pozícia meracieho stanoviska voči odstrelu je na obrázku 6.

Odborný posudok odstrelu zo dňa 22. novembra 2012



Obr. 5 Pozícia meraného odstrelu na úrovni 6. horizontu v bani Mária a pozícia snímačov aparátury VMS a ABEM. Seismosnímač aparátury VMS bol vo vzdialosti 46 m od odstrelu. Seismosnímače aparátury ABEM Vibrarloc boli vo vzdialosti 148 m od odstrelu.



Obr. 6 Pozícia meracích stanovísk v bytových objektoch. Seismické aparátury UVS 1504 a ABEM Vibrarloc pri meraní seismických účinkov odstrelu dňa 22. 11. 2012 boli umiestnené na stanovisku 4 a 5.

Odborný posudok odstrelu zo dňa 22. novembra 2012

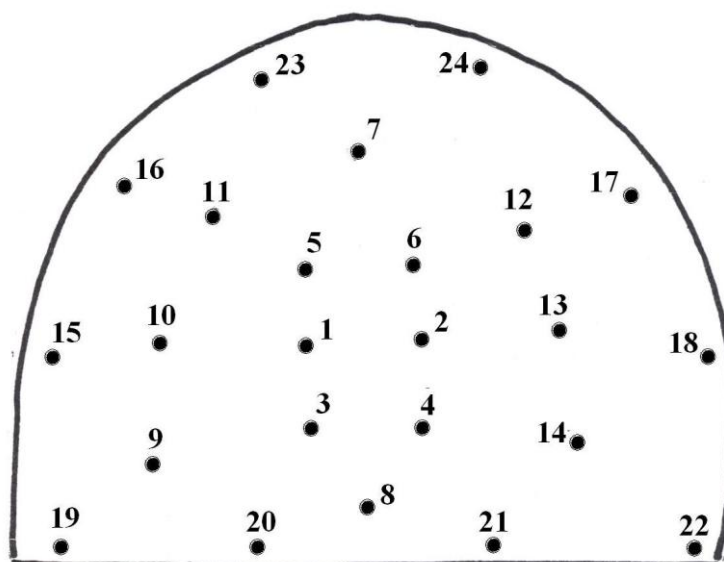
Tabuľka 1 Údaje o vzdialosti medzi stanoviskami merania a odstrelom

Stanovisko	Číslo odstrelu a charakter stanoviska	Súradnice geofónov			Vzdialosť od odpalu ku stanovisku v m šikmá	poznámka
		x	y	z		
5	VMS 2000 – Hrnčiarska č. 22				312	
5	ABEM Vibraloc - Hrnčiarska č. 22				312	
4	UVS 1504 - Hrnčiarska č. 20				320	
4	ABEM Vibraloc - Hrnčiarska č. 20				320	

3. Zdroj otriasov

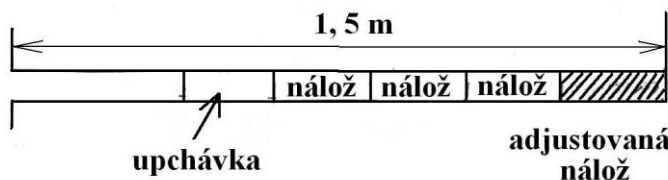
Zdrojom seismických účinkov bol odstrel malého rozsahu pri banskej činnosti v dobývacích priestoroch bane Mária v meste Rožňava.

VRTNÁ SCHÉMA PROFIL 3,5 x 2,7 m



ČASOVÉ STUPNE: 1⁰ 1,2,
2⁰ 3,4,5,6,
3⁰ 7,8,
4⁰ 9,10,11,12,13,14,
5⁰ 15,16,17,18,
6⁰ 19,20,21,22,
7⁰ 23,24

Konštrukcia nálože:



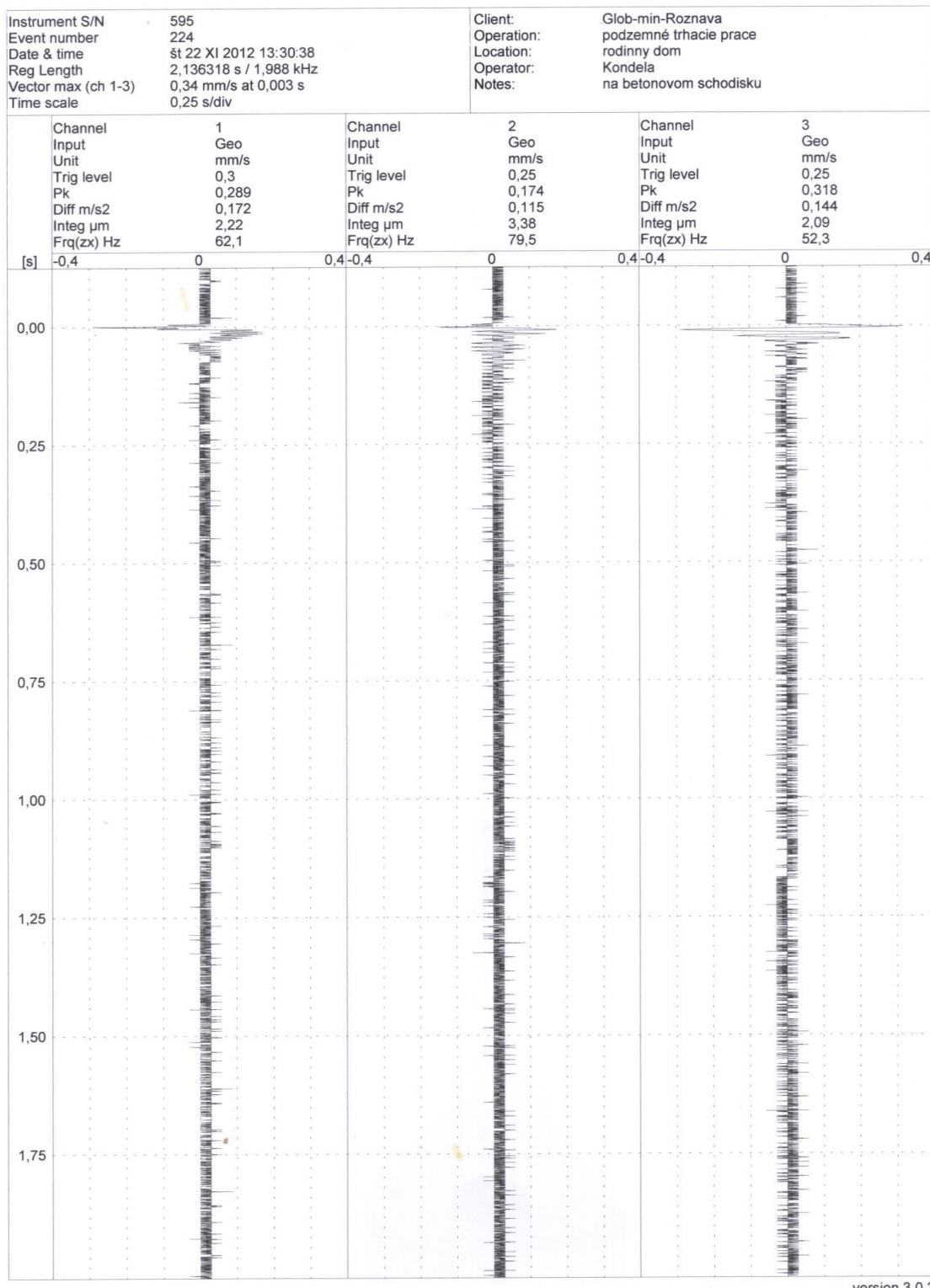
Obr. 7 Vrtná schéma, časovanie odstrelu a konštrukcia nálože monitorovaného odstrelu

Navítaných bolo 24 vrtov s dĺžkou 1,7 m. Maximálna nálož v jednom vrte bola 1 kg trhaviny. Na roznet bola použitá trhavina Ekodanubit. celková nálož trhaviny vo vrtoch 24 kg. Na jeden časový stupeň bolo použitých maximálne 4 kg trhaviny. Boli použité 500 ms rozbušky DEP.

Odborný posudok odstrelu zo dňa 22. novembra 2012

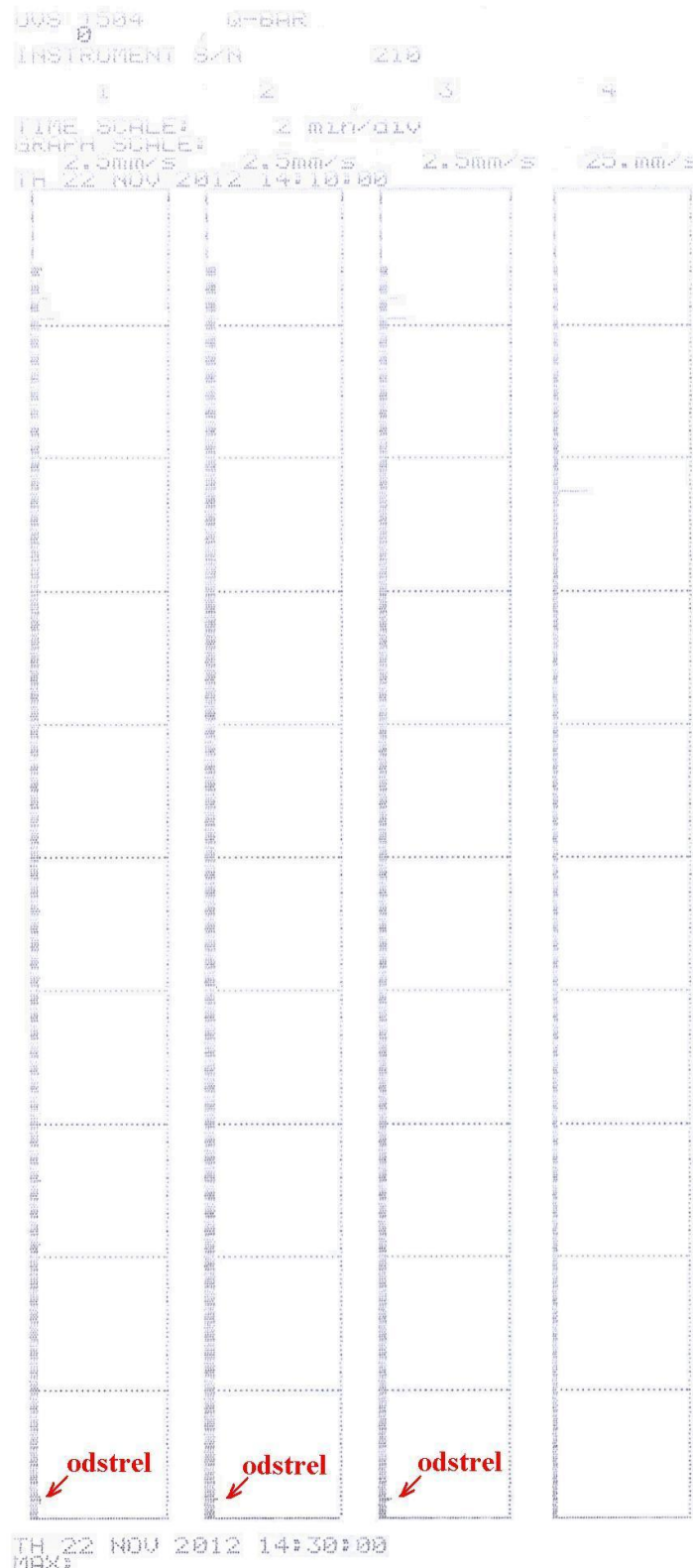
4. Namerané hodnoty

Seismograf VMS 2000 bol uložený na stanovisku v bani, 46 m od odstrelu (Obr. 2). Pred meraním bol kalibrovaný a prekontrolovaná bola jeho citlivosť. Namerané hodnoty počas odstrelu na stanovisku sú v tabuľke 3. Na stanovisku bol zaznamenaný grafický priebeh jednotlivých zložiek seismického vlnenia. Kanál č. 1 je zložka z, kanál č. 2 je zložka y, kanál č. 3 je zložka x..



Odborný posudok odstrelu zo dňa 22. novembra 2012

Seizmograf Abem Vibraloc bol uložený na stanovisku v bani vo vzdialosti 148 m (Obr. 3). Pred meraním bol kalibrovaný a prekontrolovaná bola jeho citlivosť. Namerané hodnoty počas odstrelu na stanovisku sú v tabuľke 3. Na stanovisku č. 1 bol zaznamenaný grafický priebeh jednotlivých zložiek seismického vlnenia. Kanál č. 1 je zložka z, kanál č. 2 je zložka x, kanál č. 3 je zložka y.



Obr.10 Grafický záznam jednotlivých zložiek vlnenia pri odstrelu dňa 22.11.2012 na stanovisku 4.

Odborný posudok odstrelu zo dňa 22. novembra 2012

Seizmograf UVS 1504 bol uložený na stanovisku 4 – schodisko bytového objektu č. 255 v Rožňave (Obr. 2). Pred meraním bol kalibrovaný a prekontrolovaná bola jeho citlivosť. Namerané hodnoty počas odstrelu na stanovisku sú v tabuľke 3. Na stanovisku č. 1 bol zaznamenaný grafický priebeh jednotlivých zložiek seismického vlnenia a akustického vlnenia. Kanál č. 1 je zložka z, kanál č. 2 je zložka y, kanál č. 3 je zložka x. Štvrtá zložka je zvukový kanál.

Tabuľka 3 Namerané hodnoty rýchlosťí a frekvencií

stanovisko	X Hz	Y Hz	Z Hz	4 Pa	X mm. s ⁻¹	Y mm. s ⁻¹	Z mm. s ⁻¹	4 Pa
Rodinný dom č. 22-ABEM	62	79	52		0,28	0,17	0,31	
Rodinný dom č. 20- UVS 1504	-	-	-	-	0,2	0,25	0,25	1 Pa

5. Seismické účinky trhacích prác

Veľkosť intenzity otriasového účinku je priamo úmerná nasledovným parametrom nálože:

- *hmotnosti nálože,*
- *brizancii trhaviny,*
- *náložovej hustote trhaviny.*

Časť energie výbuchu výbušniny, ktorá sa nevyužije na rozpojenie, vniká do obklopujúceho prostredia ako rázový impulz, ktorým sa od miesta detonácia šíri všetkými smermi vo forme rôznych typov pružných rázových vln, z ktorých najvýznamnejšie sú povrchové vlny Rayleighove a Loveove. Rýchlosť šírenia týchto objemových vln napäťia, pozdĺžnej (ťah – tlak) a priečnej (šmyk), je zhodná s rýchlosťou zvuku v danom prostredí.

Charakteristickými fyzikálnymi veličinami pre každé vlnenie (harmonický pohyb) a teda j pre seismické vlny sú:

- *amplitúda,*
- *frekvencia vlnenia.*

Kmity vyvolané výbuchom výbušnína majú neperiodický priebeh a charakterizuje ich veľká amplitúda a energia. Na šírenie seismickej vlny majú vplyv vlastnosti obklopujúceho prostredia, ktoré v mnohých prípadoch nie je možné úplne uspokojivo definovať. Napríklad v horninách prechádza seismická vlna cez tektonické poruchy s veľkým utlmením, ale pozdĺž týchto porúch sa šíri pomerne ľahko a na veľké vzdialenosťi. Rozkmitanie prostredia v okolí výbuchu nálože má pritom podobný charakter ako blízke zemetrasenie.

Obvyklé frekvencie budené výbuchom náloží sa pohybujú v rozmedzí 5-50 Hz. Frekvencie $f > 10$ Hz zodpovedajú náložiam s ekvivalentnou hmotnosťou $m_{ev} > 2000$ kg, frekvencie $f > 50$ Hz zodpovedajú náložiam s ekvivalentnou hmotnosťou $m_{ev} < 5$ kg.

Podľa usporiadania môžu mať odstrely:

- *jednu nálož uloženú vo vrte alebo komore,*
- *viac náloží uložených vo vrtoch alebo komorách,*
- *príložnú nálož alebo nálože.*

Podľa časovania to môžu byť odstrely:

- *okamihové* (všetky nálože vybuchujú súčasne),
- *časované* (čiastkové nálože vybuchujú v rôzne odstupňovaných časových intervaloch).

V jednom časovom stupni môže súčasne vybuchovať viac náloží, ktoré považujeme za jednu čiastkovú nálož.

Odborný posudok odstrelu zo dňa 22. novembra 2012

Pri časovanom odstrele uvažujeme s dvomi časovými intervalmi Δt :

- $\Delta t \geq 250 \text{ ms}$ (kmity utlma ešte pred výbuchom ďalšej čiastkovej nálože),
- $\Delta t < 250 \text{ ms}$ (vzniká interferencia účinkov čiastkových náloží).

Potrebná dĺžka medzného intervalu časovania závisí od horninového prostredia a môže zlepšiť hodnoty 250 ms až na $\Delta t = 10 \text{ ms}$.

Pri okamihovom odstrele sa vo výpočte uvažuje s celkovou hmotnosťou nálože trhaviny. Pri časovanom odstrele s intervalom časovania kratším ako 250 ms možno vplyv časovania zlepšiť experimentálne. Ak to nie je možné, uvažuje sa pri zhruba rovnakých jednotlivých náložiach najviac dvojnásobná hmotnosť čiastkovej nálože (hmotnosť v jednom časovom stupni – ekvivalentná hmotnosť nálože m_{ev}), prípadne pri náložiach rôznej veľkosti najviac súčet hmotností dvoch najväčších náloží. Ak prevyšuje hmotnosť jednej z náloží ostatné aspoň štvornásobne, stačí uvažovať hmotnosť tejto najväčšej nálože. Podmienkou je normálne upnutie a obvyklé utesnenie náloží.

Najspôsoblivejší spôsob stanovenia a predpovede intenzity otriasov sú priame merania seizmických účinkov na konkrétnom stavebnom objekte pri odpálení nálože malej hmotnosti. Prístroje na meranie a záznam môžu byť:

- mechanické,
- digitálne.

Prístrojmi sa merajú, zaznamenávajú a u digitálnych aj vyhodnocujú amplitúda kmitov alebo rýchlosť kmitania. Zo záznamu amplitúdy sa odčíta maximálna výchylka, jej zodpovedajúca frekvencia a rýchlosť kmitania sa stanoví výpočtom. Efektívnejší spôsob je priame meranie rýchlosťi kmitania. Ako elektrické snímače sa používajú 3 geofóny rozmiestnené a upevnené tak, aby boli snímané všetky tri priestorové zložky kmitania (dve horizontálne a jedna vertikálna). Rýchlosť kmitania sa určí zo záznamu ako maximálna hodnota jednej z troch zložiek.

Pre hrubý predbežný odhad seizmického pôsobenia odstrelu na blízky stavebný objekt sa používa upravený Kochov vzťah (STN 73 0036):

$$\bar{u} = K \cdot \frac{\sqrt{m_{ev}}}{1000 \cdot l},$$

kde \bar{u} je rýchlosť kmitania seismickej vlny [m.s^{-1}],
 m_{ev} je ekvivalentná hmotnosť nálože [kg],
 l je najkratšia vzdialenosť miesta odstrelu od objektu [m],
 K je súčiniteľ prenosu energie geologickým prostredím alebo funkcia prenosu energie stanovená seismickým meraním, ktorá je závislá od vzdialosti bodu merania od ľažiska odstrelu.

Orientačné hodnoty súčiniteľa prenosu energie K sú uvedené v tab 4.

Odborný posudok odstrelu zo dňa 22. novembra 2012

Tabuľka 4 Informatívne hodnoty súčiniteľa prenosu energie K.

Vzdialenosť l	Súčiniteľ K [$\text{kg}^{-1/2} \cdot \text{m}^2 \cdot \text{s}^{-1}$]	
	Podložie zo skalných s p o l o s k a l n ý c h h o r n í n s o s t r e d n o u a z v e r m i m a l o u h u s t o t o u d i s k o n t i n u i t	Ostatné horniny okrem hornín vo zvodnenom prostredí
10	350	250
50	250	150
200	150	120
500 a viac	120	100

Hodnoty uvedené v tabuľke platia pre rýchlosť kmitania do 30 mm s^{-1} , neplatia pre vodou nasýtené prostredie.

Rýchlosť kmitania menšia ako 10 mm s^{-1} nespôsobuje žiadne škody, pri rýchlosťi 20 mm s^{-1} sa prejavujú prvé známky ľahkých škôd pri vyšších rýchlosťach už vznikajú vážne až veľké poškodenia objektov vedúce až k úplnému narušeniu stability.

Seizmické účinky pripravovaného odstrelu možno podstatne znížiť:

- *rozdelením celkovej nálože do viacerých čiastkových náloží*. Veľmi účinne možno výsledný seizmický účinok znížiť milisekundovým časovaním odstrelu, u ktorého oneskorenie jednotlivých náloží spôsobuje interferenciu seizmických vĺn tak, že sa ich nežiaduce účinky vzájomne rušia. Je známy fakt, že otras je tým menší, čím ľahšie nálož prekoná odpór záberu, preto v niektorých prípadoch je vhodné predimenzovanie hmotnosti nálože o 30 – 40%. Tým vzrástie amplitúda, ale zníži sa frekvencia kmitov a zmenší sa upnutie rozpojovaného materiálu. Výsledkom je menší seizmický účinok za cenu zväčšenia odhadenia a rozletu rozpojovaného materiálu.
- *vytvorením umelej prekážky (štrbiny) v ceste seizmických vĺn* pomocou metódy hladkého výlomu „presplit blasting“ (predštep).

Najväčší seizmický efekt sa docieli odpálením uzavretých náloží v geometricky neohraničenom prostredí, t.j. bez voľných plôch (otrasové trhacie práce), pri rozpojovaní na jednu voľnú plochu (zálomy) a pri veľkom upnutí náloží (rozpojovanie na ohreničenú šírku voľnej plochy). Najmenší seizmický efekt je pri druhotnom rozpojovaní, t.j. pri veľkom počte voľných plôch.

Niekde uprostred medzi týmto dvomi extrémami sa pohybuje väčšina odstrelov. Zvyšovaním počtu voľných plôch a znižovaním upnutia náloží požitím vhodných vrtných schém a organizácie odstrelu (geometria a časovanie) je možné účinky plánovaného odstrelu už v štádiu jeho projektovania posunúť do oblasti minimalizovaného seizmického účinku.

6. Odhad bezpečnej vzdialenosťi od miesta odstrelu

Rýchlosť kmitania možno zistiť meraním (v smeroch x, y, z), pri odpálení menšieho množstva trhaviny ako bude mať vlastná nálož. Meranie sa musí uskutočniť na posudzovanom mieste alebo na mieste s podobnými geologickými pomermi. Skúšobná nálož nesmie mať menšiu hmotnosť ako $0,1$ hmotnosti maximálnej čiastkovej nálože m_{ev} , ktorá bude použitá pri plánovanom odstrelе.

Medzi rýchlosťami kmitania v_1 a v_2 od náloží o hmotnostiach m_1 a m_2 (ak $m_1 < m_2$) platí vzťah:

Odborný posudok odstrelu zo dňa 22. novembra 2012

$$v_1 = v_2 \left(\frac{m_1}{m_2} \right)^{\alpha_v},$$

kde $\alpha_v < 1$, (pričíne sa rovná 0,5).

Analogicky vzťah platí aj pre zložky rýchlosťi u .

Pre danú triedu odolnosti (tab. 5) objektu a prípustný stupeň poškodenia sa bezpečná vzdialenosť l stavebného objektu od miesta odstrelu, ak nebolo možné vykonať skúšobný odstrel a meranie, pričíne určí zo vzťahu:

$$l = k_1 \cdot m_{ev}^{k_2},$$

kde k_1 je súčinitel' vyjadrujúci druh stavby, stupeň poškodenia a je závislý od ekvivalentnej hmotnosti nálože,
 k_2 exponent závislý od hmotnosti nálože m_{ev} ,
 m_{ev} ekvivalentná hmotnosť nálože.

Odborný posudok odstrelu zo dňa 22. novembra 2012

Tabuľka 5 Triedy odolnosti stavebných objektov.

Trieda odolnosti objektu	Objekty bytové, občianske, priemyselné a polnohospodárske	Objekty inžinierske	Objekty podzemné	Podzemné inžinierske
A	Chatrné stavby nezodpovedajúce predpisom, zrúcaniny: historické budovy z neopracovaného kameňa alebo tehál s klenutými prízemiami a suterénmi, kameňové a murované pominiky a fontány, budovy a rozsiahlu plastickovú výzdobou, budovy v osadnej pamiatkovej starostlivosti			
B	Bežné tehlové stavby, izolované alebo radové domčeky s podzemnou plochou do 200 m ² , najviac trojpodlažné			
C	Veľké budovy z tehál a tvárníc, dobré využívajúce stavby, panele, montované zo železobetónových prvkov, murovane cennatový materiál	Kamenné mosty /sochy ozdoby), oporné a ochranné steny z kameňa, vodojemy	Keramické a kamenné obklady a dlažby	Azbestocementové a kameninové potrubia, káblové spojky, rozvodné skrine na komunikačných kábloch
D	Budovy s monolitickým skeletom z ocele alebo železobetónu, vodovodné a kanalizačné systémy, výrobné a prípravné	Oporы mostov z opracovaného kameňa, monolitické vodojemy	Tehlové, kamenné a tvárnicové vymurovky v podzemných objektoch	Liatinové a betónové potrubia, potrubia z umelých hmôt
E	Železobetónové objekty, železobetónové silosy a zárobniky	Železobetónové silosy, zárobniky	Betónové monolitické konštrukcie podzemných objektov, vymurované a monolitické štôlne kruhového a oválneho tvaru, stoky a technologické tunely z prefabrikátov a rúr s priemerom väčším ako 800 mm, podzemné steny, kotvy výkusu, kotvy kotvia	Káble žilové komunikačné káble
F			Železobetónové tunely, silosy, zárobniky, skryty cívne	Oceľové potrubia

6.1. Druhy základovej pôdy

Pre účely hodnotenia technickej seismicity sa základová pôda zatrieduje do troch kategórií:

- *kategória a*, patria sem horniny všetkých tried pri tabuľkovej návrhovej únosnosti $R_{dt} \leq 0,15$ MPa, s hladinou podzemnej vody trvalo v hĺbke od 1,0 do 3,0 m pod základovou škárou,
- *kategória b*, horniny všetkých tried pri tabuľkovej návrhovej únosnosti $R_{dt} \leq 0,15$ MPa, s hladinou podzemnej vody trvalo v hĺbke viac ako 3,0 m. Do tejto kategórie patria tiež horniny všetkých tried pri tabuľkovej návrhovej únosnosti $R_{dt} > 0,15$ MPa, ak je hladina podzemnej vody trvalo v hĺbke od 1,0 do 3,0 m pod základovou škárou.
- *kategória c*, horniny všetkých tried pri tabuľkovej návrhovej únosnosti $R_{dt} > 0,15$ MPa, s hladinou podzemnej vody trvalo v hĺbke viac ako 3,0 m pod základovou škárou. Do tejto kategórie patria tiež horniny všetkých tried tabuľkovej návrhovej

Odborný posudok odstrelu zo dňa 22. novembra 2012

únosnosti $R_{dt} > 0,6$ MPa, ak je hladina podzemnej vody trvalo v hĺbke viac ako 1,0 m.

Individuálne posúdenie je potrebne urobiť pre horniny všetkých tried, ak je hladina podzemnej vody trvalo menej ako 1,0 m pod základovou škárou a v územiach náchylných na zosuvy. (Müncner, E a kol., 2000)

Závislosť stupňa poškodenia od maximálnej rýchlosťi kmitania (max. u , max. v), druhu objektu a základovej pôdy je uvedená v tab. 6 .

Tabuľka 6 Závislosť stupňa poškodenia od maximálnej rýchlosťi kmitania druhu objektu a základovej pôdy.

Maximálna rýchlosť kmitania pre frekvenčnú oblasť			Stupeň poškodenia	Trieda odolnosti objektu	Druh základovej pôdy
$f_k < 10$ Hz	$10 \text{ Hz} < f_k < 50$ Hz	$f_k > 50$ Hz			
do 3	3 až 6	6 až 5	0	A	a
3 až 6	6 až 12	12 až 20	0	A	b,c
				B	a
6 až 10	10 až 20	15 až 30	0	B	b,c
				C	a
			1	A	a
8 až 15	15 až 30	20 až 30	0	C	b
				B	c
			1	A	b,c
				B	a
10 až 20	20 až 30	30 až 50	0	C	c
				D	a
			1	B	b
				C	a
			2	A	a
15 až 25	25 až 40	40 až 70	0	D	b,c
				E	a
			1	C	b
				B	c
			2	A	b,c
20 až 40	40 až 60	60 až 100	0	B	a
				E	b,c
			1	F	a
				C	c
			2	D	a
30 až 50	50 až 100	100 až 150	0	B	b,c
				C	a
			1	F	b,c
				D	b,c
			2	E	a

1) Hodnoty v stĺpci pre f_k väčšie ako 50 Hz nemožno použiť pre potrubie uložené v zásype.

Odborný posudok odstrelu zo dňa 22. novembra 2012

Tabuľka 7 Súčinitele k_1 a k_2 .

Trieda odolnosti objektu	Stupeň poškodenia objektu	$k_1 = 2/3$	$k_2 = 1/3$
		$m_{ev} = 1 \text{ až } 10^3 \text{ kg}$	$m_{ev} = 10^3 \text{ až } 5 \cdot 10^3 \text{ kg}$
		k_1	k_2
A až F	0	15	150
A	1	10	100
B až F	0	10	100
A	2	7	70
B	1	7	70
C až F	0	7	70
A	3	5	50
B	2	5	50
C	1	5	50
D až F	0	5	50
A	4	4	40
B	3	4	40
C	2	4	40
D	1	4	40
E, F	0	4	40
A	5	2	20
B	4	2	20
C	3	2	20
D	2	2	20
E	1	1	20

Spoľahlivá predpoveď seizmického účinku ľubovoľne veľkej nálože trhaviny na stavebný objekt v ľubovoľnej vzdialosti neexistuje. Aj v rovnakom prenosovom prostredí a pri rovnakej technológii rozpojovania dávajú hodnoty súčiniteľov K , k_1 a k_2 (tab. 8) veľký rozptyl hodnôt a tým aj rôzne hodnoty u , v . To znamená, že výpočet nemôže dať jednoznačne spoľahlivú odpoveď, či plánovaný odstrel zaručí alebo nezarúčí seizmickú bezpečnosť chráneného objektu.

Všetky vzťahy pre predbežný výpočet rýchleho kmitania môžu poskytnúť len približnú informáciu, t.j. môžu zdôrazniť potrebu konkrétnych meraní, alebo naopak môžu viest' k záveru, že vzdialenosť objektu od miesta plánovaného odstrelu je tak veľká, že merania nie sú vôbec potrebné.

Rozsah pôsobenia škodlivých seizmických účinkov na človeka i objekty, uvádzajú tab. 8.

Tabuľka 8 Škodlivé seizmické účinky v závislosti na rýchlosťi kmitania.

Rýchlosť kmitania [mm.s ⁻¹]	Charakteristika otriasov a ich účinkov
do 2	Človek otrasy nevníma, chvenie možno zistiť len prístrojom
2 – 5	Citlivé osoby vnímajú chvenie za ticha a kľudu, hodnota by nemala byť prekročená u pamiatkovo chránených budov (zrúcanín)
5 – 10	Otras je už človekom vnímaný, najmä osobami informovanými o odstrele
10 – 15	Otras je vnímateľný väčšinou ľuďmi, chvejú sa okenné tabule, v celom výnimočných prípadoch sa môžu objavovať príznaky nepatrných poškodení
15 – 30	Prvé známky veľmi ľahkých škôd, odlupovanie maľby, výnimočné vlasové trhliny v omietke
30 – 75	Ľahké škody na už poškodených budovách, trhliny v omietke, opadávanie omietky výnimočne uvoľňovanie nesúrodných dielov
75 – 100	Možné škody na už poškodených budovách, ktoré boli v dobrom stave, tenké trhliny na stenách, trhliny v komínoch, opadávanie veľkých kusov omietky, opadávanie strešnej krytiny
100 – 200	Vážne škody, veľké trhliny v nosných stenách, trhliny v betóne, zbúranie komínov
200 – 400	Rozrušenie budov, rozpadávanie muriva, zrútenie časti stien, vážne škody v železobetónových konštrukciách
nad 400	Možné zbúranie budov a veľmi ľažké poškodenie objektov všetkých druhov

7. Eliminácia škodlivých účinkov trhacích prác

Pri trhacích prácach, ani pri najdokonalejších postupoch, sa nedá počítať s absolútnym využitím energie uvoľnenej výbuchom náloží trhaviny len pre vykonanie zamýšľanej práce. Je nutné počítať s tým, že časť energie sa prejaví v podobe, ktorú považujeme za nepriaznivý účinok.

Pri trhacích prácach, dnes už vykonávaných všade, sa môže nachádzať veľa rôznych objektov, rozvodov podzemných, resp. nadzemných, fauna, flóra, ktoré musíme premyslene chrániť, aby sme pri používaní energie výbuchu nespôsobili viac škôd ako užitočnej práce.

Predovšetkým je pri týchto prácach nutné očakávať:

- *rozlet materiálu,*
- *vzdušnú tlakovú vlnu, resp. rázovú vlnu vo vode,*
- *seizmické účinky.*

8. Kritérium a merítko seizmických účinkov

Účinky tzv. technickej seismicity vyvolanej trhacimi prácami sa merajú a posudzujú rýchlosťou kmitania častíc prostredia (rýchlosť amplitúdy) „ v “ a to podľa maximálnej hodnoty jednej z jej troch zložiek x , y , z . Princíp seismickej ochrany – seismickej bezpečnosti stavebných objektov voči technickej seismicite možno vyjadriť vzťahom

$$v \leq v_d$$

kde v je maximálna hodnota zložky rýchlosťi kmitania vyvolaná zdrojom otriasov, nameraná na tzv. referenčnom stanovisku chráneného (posudzovaného) objektu; referenčné stanovisko sú základy prízemia budovy; hodnota „ v “ závisí hlavne od maximálnej hmotnosti nálože trhaviny odpálenej v jednom časovom stupni Q_e [kg], ďalej od minimálnej vzdialenosťi zdroja od receptora otriasov L [m] a od vlastností geologického prenosového prostredia medzi zdrojom a receptorom otriasov. Na úrovni súčasných poznatkov sa hodnota „ v “ nedá vopred ani analyticky ani empiricky spoľahlivo vypočítať; najspoľahlivejšie sa stanoví konkrétnym meraním, ako je tomu v našom prípade, v_d je maximálna dovolená (medzná) rýchlosť kmitania pre posudzovaný (chránený) objekt; pri tejto rýchlosťi kmitania nedôjde k nijakému poškodeniu objektu – **stupeň poškodenia je 0**; táto hodnota sa stanovuje nezávisle na odstrele (pred odstrelom) na základe praktických skúseností uvádzaných v rôznych normatívoch (u nás napr. STN 73 00 36), alebo na základe expertíznych posúdení špecialistami. STN 73 0036 uvádzza vzťah medzi intenzitou kmitania vyjadrenou rýchlosťou kmitania jednotlivých zložiek a možnosťou poškodenia stavby. V zhode s normou a podľa skúsenosti získaných meraním a vyhodnocovaním seizmických účinkov v lomoch po celom Slovensku, je možne pre murované občianske stavby v priemernom stavebnom stave prijať tieto kritéria:

pri rýchlosťi kmitania

- a) $v = 0 - 10$ mm/s – nehrozí žiadne poškodenie stavby,
- b) $v = 10 - 30$ mm/s - možnosť vzniku prvých známok škôd
- c) $v = 30 - 60$ mm/s – možnosť vzniku ľahkých škôd.

9. Vzdušná tlaková vlna

Výbuchom nálože vzniká vzdušná tlaková vlna, ktorá pôsobí na prostredie veľkosťou pretlaku P v určitej vzdialosti od miesta výbuchu. Je tvorená tenkou vrstvou stlačeného vzduchu, ktorá má v blízkosti zdroja (vybuchujúcej nálože) charakter rázovej vlny a vo väčšej vzdialosti prechádza na vlnu zvukovú. Pri dobre utesnenej náloži je ohrozenie zdravia jej pôsobením oveľa menej pravdepodobné, než ohrozenie rozletom rozpojovaného materiálu. Silnejšou tlakovou vlnou sa prejavuje výbuch polouzavretých alebo príložných náloží.

Odborný posudok odstrelu zo dňa 22. novembra 2012

V takých prípadoch môže rozsiahlejšie škody spôsobiť aj pomerne neveľká nálož. Intenzita tlakovej vlny sa meria tlakovými snímačmi alebo sonometrami s veľmi krátkou časovou základňou (niekoľko μ s). Pre približný výpočet pretlaku sa používa vzťah:

$$P = k \cdot \sqrt{\frac{Q}{L^3}}$$

kde P je pretlak v [Pa],
 k je konštanta závislá od vplyvu prostredia v okolí nálože a od mernej energie výbušniny (pre priemyselné trhaviny so stabilizovanou detonačnou rýchlosťou je $k = 13$ až 15 , pre ostatné je menšia),
 Q je hmotnosť nálože [kg],
 L je vzdialenosť posudzovaného miesta od centra výbuchu.

Pre ľudský organizmus je škodlivý už pomerne nízky tlak. Čažké, až smrteľné zranenia vznikajú už pri pretlaku nad $0,1$ MPa. Veľmi intenzívne až bolestivo sú pocítované pretlaky nad $0,005$ MPa. (Müncner, E a kol, 2000)

9.1. Účinky vzdušných tlakových vín

Podľa nariadenia vlády Slovenskej republiky č. 549/2007 z.z. o ochrane zdravia pred hlukom a vibráciami pre posudzovanie škodlivosti hluku nezáleží len na intenzite a frekvenčnom spektre, ale i na dobe pôsobenia hluku. V prípade krátkeho časového pôsobenia hluku (1 až 200 ms), počas ktorého dochádza k maximálnemu vyžarovaniu zvukovej energie, hovoríme o impulznom zvuku. Stacionárnymi zdrojmi impulzného hluku sú predovšetkým strelne zbrane použitie, trhavín a výbušní (napr. odstrel v lomoch), ale aj iné technológie, kedy dochádza k náhľemu uvoľneniu energie. Najvyššia prípustná maximálna hladina hluku L_{Amax} pre hluk impulzny s počtom impulzov menším ako 20 impulzov za sekundu a dobou trvania menej ako 1 s, z hľadiska pôsobenia na ľudský organizmus, je 130 dB. Tlak akustického vlnenia, z hľadiska pôsobenia na obytné objekty, môže spôsobiť poškodenia pri hodnotách nad 100 Pa.

Pretože pre posúdenie vplyvu na ľudský organizmus sa pôsobenie akustického tlaku vyjadruje pomocou hladín, ktoré sú vyjadrené v decibeloch, je možné akustický tlak prepočítať na hladiny podľa korelačného vzťahu medzi decibelem (dB) a pascalom (Pa) $dB = 20 \times 10 \log (0,05 \text{ Pa} \times 10^6)$.

Tabuľka 9 Vzájomný vzťah medzi akustickým tlakom a hladinou akustického tlaku

Hladina akustického tlaku L_A (dB)	Akustický tlak p (Pa)
0	$2,0 \cdot 10^{-5}$
50	$6,3 \cdot 10^{-3}$
100	2,000
110	6,311
120	20,00
130	63
140	200,0
150	630,0

Pre bližšie dokreslenie, uvádzame hodnoty účinkov vzdušných tlakových vín v závislosti na pretlaku na čele vlny:

- | | |
|--------------------------------|--|
| pretlak vzdušnej tlakovej vlny | škodlivé účinky vzdušnej tlakovej vlny |
| ○ 198 dB | čažké a smrteľné zranenia, |
| ○ 180 dB | čažké škody na bežných stavbách, |
| ○ 174 dB | väčšina okenných tabúľ rozbitá, |
| ○ 154 dB | niektoré okenné tabule rozbité, |
| ○ 148 dB | veľmi intenzívny vnem ľud'imi, |
| ○ 143 dB | neškodne pre stavebne objekty, |

Odborný posudok odstrelu zo dňa 22. novembra 2012

- 140 dB niektoré veľmi veľké okenné tabule rozbité,
- 138 dB najvyššia prípustná hodnota, v žiadnom prípade nedôjde k poškodeniu,
- 134 dB maximálna priateľná hodnota, nedôjde k poškodeniu.

10. Dovolená rýchlosť kmitania pre stavebné objekty bytovej zástavby Rožňava

Vychádzajúc z odporúčaní STN 73 0036 Seismické zaťaženie stavebných konštrukcií, s ohľadom na nálože používané pre clonové odstrely, ktoré predstavujú rádovo stovky kilogramov, kedy frekvencie kmitov bývajú obvykle **f < 10 Hz** (potvrdené meraním) a na základe odolnosti stavebných objektov voči technickej seismicite je možno posudzovaný rodinný dom v obci Vyšná Šebastová zaradiť do **tryedy odolnosti B** (tab. 6).

Čo sa týka druhu a kategórie základovej pôdy chránených objektov, túto vzhľadom na absenciu konkrétnejších charakteristik a údajov, môžeme zatriediť do **kategórie a**, čo je najbližšie ku skutočnosti (**hladina podzemnej vody je menej ako 3 m pod úrovňou povrchu**).

Na základe uvedeného a vzhľadom na dlhodobejší charakter odstrelov na Bani Mária a s ohľadom na charakter stavebných objektov, pre rozpojovanie odstrelmi na ložisku Baňa Mária a pre stavebné objekty v Rožňave, možno maximálnu dovolenú rýchlosť kmitania (zložku rýchlosťi) stanoviť hodnotou (tab. 7)

$$v_d \leq 3 \text{ mm/s}.$$

11. Namerané seismické účinky clonových odstrelov a ich analýza

Namerané hodnoty rýchlosťi kmitania na stanoviskách 4 a 5 boli pod hranicou citlivosti meracích aparatúr.

Seismograf ABEM Vibraloc, ktorý bol uložený na stanovisku 5 – bytový objekt Hrnčiarská č. 22 v Rožňave - vo vzdialosti 312 m od odstrelu nameral maximálne hodnoty zvuku 1Pa a vibrácií 0,31 mm/s, ktoré sú menšie ako dovolená rýchlosť kmitania **v_d ≤ 3 mm/s**.

12. Záver

Na základe rýchlosťí kmitania seismických vĺn nameraných pri odstrelе dňa 22. 11. 2012 na Bani Mária je možné konštatovať, že hodnoty rýchlosťi kmitania seismických vĺn na meraných bytových objektoch 4 a 5 neprekročili dovolenú rýchlosť kmitania stanovenú STN 730036 pre bytové objekty v Rožňave.

Uskutočnený odstrel bol z pohľadu seismických účinkov na merané objekty bezpečný.

V Košiciach dňa 21.12.2012

- Doc. RNDr. Blažej Pandula, CSc.....
- Mgr. Julián Kondela, PhD.....

Správa bola vyhotovená 1x v písomnej podobe
1 x v digitálnej podobe.

Odborný posudok odstrelu zo dňa 22. novembra 2012

Použitá literatúra

- Dojčár, O. a kol., 1996: Trhacia technika, Montanex, a.s., Ostrava 1996, 421 s.
- Jacko, S. ml., 1997: Prehľad stavby mezozoika humenských vrchov. Acta Montanistica Slovaca.
- Müncner, E., a kol., 2000: Príručka pre strelmajstrov a technických vedúcich odstrelov, SSTVP Banská Bystrica 2000, 201 s.
- Pandula, B. a Kondela, J., 2010: Metodológia seismiky trhacích prác, SSTVP Banská Bystrica, DEKI Design, s. r. o., 156 s.
- STN 730036 Seismické zaťaženie stavebných konštrukcii, Bratislava 1995